

軸対称粘性流に於ける円孔効果

東大理 橋本 英典

§1 はしがき

流体力学に於ける混合境界値問題の1例として、二次元粘性流に於ける細孔の効果と前講究録355 p.1で述べたが、こゝでは、その拡張として、軸対称の場合、特に円孔のあいたスクリーンに垂直に中心軸上を運動する微小球によるストークス流れを議論してみよう。

§2 基本解と境界条件

半径1の円孔の中心に原点、スクリーンに垂直にx軸をとり、それに平行な単位ベクトルを e とすれば、ストークスの方程式

$$\mu \Delta V = \text{grad } p, \quad \nabla \cdot V = 0 \quad (2.1)$$

の今の問題に適當な一般解は、2つの調和関数 $\bar{\Phi}$, ψ を用いてあらわされるが²⁾、特に、

$$\mu V = x \text{ grad } \bar{\Phi} - \bar{\Phi} e + \text{grad } \psi + \mu V_0, \quad (2.2)$$

$$p = 2\mu \partial \bar{\Phi} / \partial x + p_0, \quad \bar{\Phi} = \phi + \partial \psi / \partial x \quad (2.3)$$

の形をとると便利である。KVL.

$$\Delta\phi = \Delta\psi = 0, \phi(-x, y, z) = \phi(x, y, z), \psi(-x, y, z) = \psi(x, y, z) \quad (2.4)$$

で V_0, P_0 は (2.1) を満足する外場である。中心軸上, 原点から l の距離にあり軸に沿って負の方向に抵抗 D を受ける特異点 (ストークスレット) の場合, 対応する ϕ, ψ は.

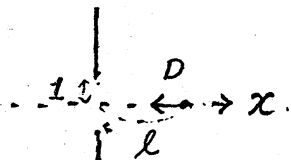


Fig. 1.

$$\phi_0 = C/R, \quad C = -D/8\pi$$

$$\psi_0 = -l\phi_0, \quad R = [(x-l)^2 + \rho^2]^{1/2} \quad (2.5)$$

の形に着ける。KVL ρ は軸からの距離を表わす。したがって ϕ と ψ に対する境界条件は ([] は (2.5) のとき)

i) $x=0, \rho > l$ に対して $V=0$ が必要

$$\phi = \mu v_{0x} \left[= -\phi_0 - l \frac{\partial \phi_0}{\partial x} = -(1 - l \frac{\partial}{\partial l}) \phi_0 \right]$$

したがって

$$\frac{\partial \psi}{\partial \rho} = -\mu v_{0\rho} \left[= l \frac{\partial \phi_0}{\partial \rho} \text{ i.e. } \psi = l(\phi_0 + a) \right] \quad (2.6)$$

ii) $x=0, | \rho | < l$ での連続性: $\frac{\partial \psi}{\partial x} = \frac{\partial \phi}{\partial x} = 0 \quad (2.7)$

iii) $| \rho | \rightarrow \infty$ での誘導圧場が速度 $\rightarrow 0$, が必要

$$\phi = O(1/\rho), \quad \frac{\partial^2 \psi}{\partial x^2} = O(1/\rho^2), \quad \frac{\partial \psi}{\partial \rho} = O(1/\rho) \quad (2.8)$$

となる。(圧力差の問題は Ref. 1, 4)。そこで $R = (\rho^2 + x^2)^{1/2}$

§3 解

従って, 円孔のあるスクリーンのグリーン関数 $\phi_g = \phi_0 + \bar{\phi}$ が必要

$$x=0 \quad \rho > 1 \quad \text{及び} \quad |x| \rightarrow \infty \quad \tilde{\phi} = -\phi_0 \quad (3.1)$$

$$x=0 \quad \rho < 1 \quad \text{で} \quad \partial \tilde{\phi} / \partial x = 0$$

を満足する補足調和関数 $\tilde{\phi}$ がわかれば、(2.6) から、 ϕ, ψ が

$$\phi = (1 - l^2/x^2) \tilde{\phi}, \quad \psi = -l(\tilde{\phi} + \phi_c) \quad (3.2)$$

の形に求まる。ただし、 ϕ_c は壁の上で一定値をとる調和関数で、その必要性は後に述べる。

境界条件(3.1)は対称条件と考慮し、 $\tilde{\phi}$ をベッセル積分

$$\tilde{\phi} = \int_0^{\infty} e^{-\lambda|x|} A(\lambda) J_0(\lambda\rho) d\lambda \quad (3.3)$$

の形に表わせば混合型積分方程式

$$\int_0^{\infty} \lambda A(\lambda) J_0(\lambda\rho) d\lambda = 0, \quad \rho < 1$$

$$\int_0^{\infty} A(\lambda) J_0(\lambda\rho) d\lambda = -C(\rho^2 + l^2)^{-1/2}, \quad \rho > 1 \quad (3.4)$$

の形に書き、その解として

$$A(\lambda) = -\frac{2C}{\pi} \int_1^{\infty} \frac{t}{t^2 + l^2} \sin \lambda t dt \quad (3.5)$$

が得られる。これは $\rho = 0, x = 0$ に対して、

$$\tilde{\phi}(x, 0) = -\frac{2C}{\pi} \frac{1}{x^2 - l^2} (x \tan^{-1} x - l \tan^{-1} l) \quad (3.6)$$

$x = 0$ に対して

$$\tilde{\phi}(0, \rho) = -\frac{2C}{\pi} \frac{1}{\sqrt{\rho^2 + l^2}} \sin^{-1} \sqrt{\frac{1 - \rho^2}{l^2 + 1}} \quad \rho < 1$$

$$= -C / \sqrt{\rho^2 + l^2} \quad \rho > 1 \quad (3.7)$$

と与えらるが, (3.7) は $\rho \rightarrow 1_-$ で

$$\tilde{\phi} \sim -b\sqrt{1-\rho^2}, \quad b = 2c/(\ell^2+1) \quad (3.8)$$

となり, $\ell = 0$ でない限り, 速度に $(1-\rho^2)^{1/2}$ の特異性を生じる。

これと除くには, (3.2) の未定の調和関数 ϕ_c と

$$x=0, \quad \rho > 1 \quad \text{で} \quad \phi_c \text{ が一定 (=0)}$$

$$\rho < 1 \quad \text{で} \quad \partial\phi_c/\partial x = 0 \text{ かつ } \rho \rightarrow 1_- \text{ で } \phi_c \sim b\sqrt{1-\rho^2} \quad (3.9)$$

の条件から定めてやればよい。

その方がポテンシャルは, 平板 $\rho < 1$, $x=0$ へ x 方向に動かしときの $x > 0$ での速度ポテンシャルに相当するもので,

回転双曲面座標 ($0 \leq \mu \leq 1$, $0 \leq \zeta < \infty$)

$$x = \mu\zeta, \quad \rho = \sqrt{(1-\mu^2)(\zeta^2+1)} \quad (3.10)$$

を導入すれば, 次の形に書ける:

$$\phi_c = B(\mu + x \tan^{-1}\zeta) = B\mu(1 + \zeta \tan^{-1}\zeta) \quad (3.11)$$

$$\mu = 0 \quad \text{すなわち } x=0, \quad \rho > 1 \quad \text{で} \quad \phi_c = 0 \quad (3.12)$$

$$\zeta = 0 \quad \text{すなわち } x=0, \quad \rho = \sqrt{1-\mu^2} < 1 \quad \text{で}$$

$$\phi_c = B\mu = B\sqrt{1-\rho^2} \quad (3.13)$$

となり, $B = b$ と選べばよいことがわかる。さらに

$$\zeta \rightarrow \pm\infty \quad \text{すなわち } x \rightarrow \pm\infty \quad \text{で}$$

$$\phi_c \sim \frac{\pi}{2} B|x| \quad (3.14)$$

となるが, これによる誘導速度, 圧力は $|x| \rightarrow \infty$ で 0 となる

ことがわかる。さらに, 軸上 $\mu = 1$, $\zeta = x$ で ϕ_c は,

$$\phi_c = \phi(x \tan^{-1} x + 1) \quad (3.15)$$

の値をとる。

特に軸上の x 方向の誘導速度の $x=l$ での値 $\langle \delta u \rangle$ は

(2.2), (2.3), (3.2), (3.6), (3.11) を用いると容易に計算され

$$\begin{aligned} \mu \delta u &= - \left[(l \frac{\partial}{\partial x} - 1) (l \frac{\partial}{\partial l} - 1) \tilde{\phi} - l^2 \frac{\partial^2}{\partial x^2} (\tilde{\phi} + \phi_c) \right]_{\substack{r=0 \\ x=l}} \\ &= \kappa C \end{aligned} \quad (3.16)$$

$$\kappa = \frac{1}{\pi} \left[\frac{3}{l} \tan^{-1} l + \frac{3l^2 - 1}{(l^2 + 1)^2} \right] \quad (3.17)$$

となる。半径 ϵ の球が v の速度で x 方向に進行するときの抵抗 $D_0 = 6\pi\mu\epsilon v$ に対する補正 δD は Faxén の定理により

$$\frac{\delta D}{D} = - \frac{\langle \delta u \rangle}{v} = \frac{\kappa D_0}{8\pi\mu} = \frac{3}{4} \kappa \epsilon \quad (3.18)$$

(Fig. 2)

を与えられる。 $\delta D_0 / D_0$ は $l \rightarrow \infty$ で ロレンツの値 $5/9$ となる。

$9\epsilon / 8l$, $l \rightarrow 0$ で $3\epsilon / 2\pi$ となるが、 $l \rightarrow 0.8702$

で極大値をとるの付 I と同様である。また、 $x=0$ での速度は、
(0.6876...)

$$u = u_0 + \delta u \quad (3.19)$$

$$\mu u_0 = -(1 - l \partial / \partial l) \phi_c, \quad \mu \delta u = -\phi = -(1 - l \partial / \partial l) \tilde{\phi} \quad (3.20)$$

より $\mu u = -(1 - l \partial / \partial l) \phi_c$ となる。全流量 $Q = 2\pi$

$\int \rho d\rho u$ は、 $Q = 4\epsilon^3 c / (l^2 + \epsilon^2)$ で 2π は u_0 に対

する値 $Q_0 = 2\pi\epsilon c / \sqrt{l^2 + \epsilon^2}$ よりはるかに小さい。

Reference

- 1) 橋本英典: 数理解析研究所講究録 355 (1978) 1.
- 2) 今井 功: 流体力学 前編, 裳華房 (1973)
- 3) 今井・橋本: 流体力学 1, 東京図書 (1978) p. 143, 150.
- 4) Hasimoto, H.: J. Phys. Soc. Japan 13 (1958) 633.
- 5) Lorentz, H.A. (1907): Happel & Brenner: Low Reynolds number hydrodynamics p. 88.
- 6) Sneddon, I.N.: Mixed boundary value problems in potential theory (North Holland, Amsterdam 1966) p. 93.

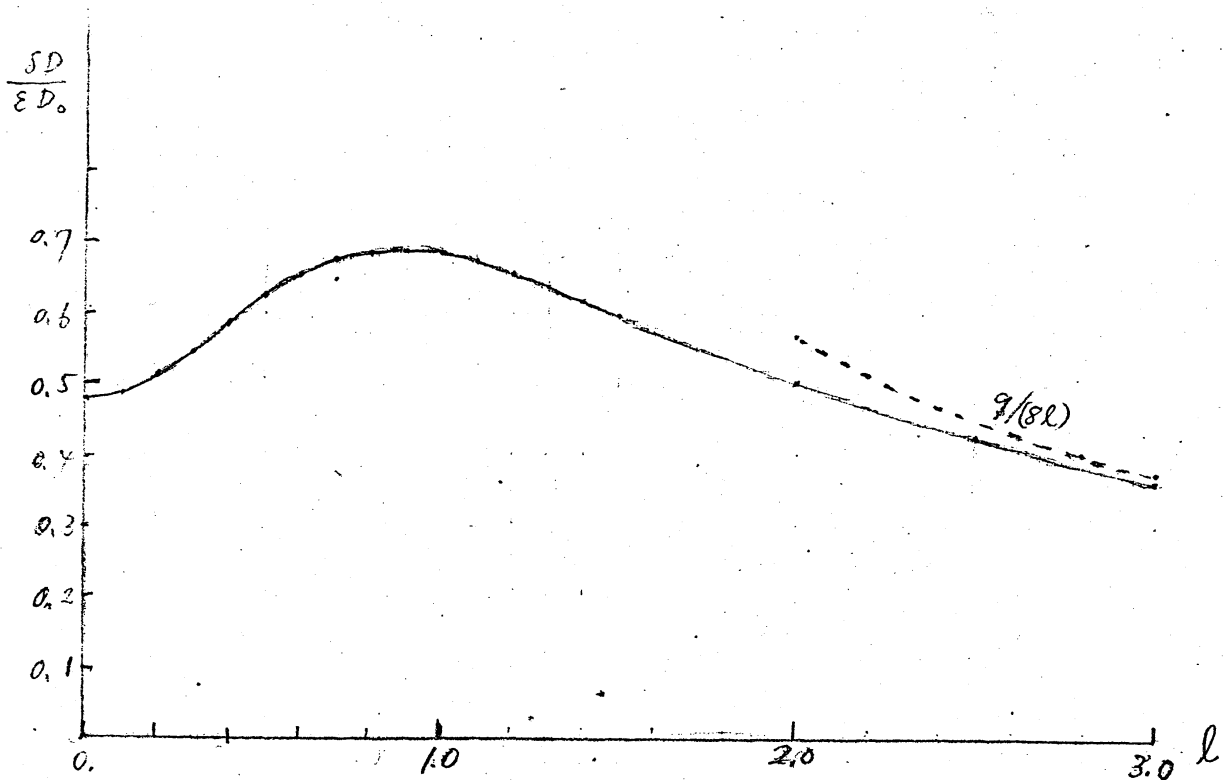


Fig. 2